

# Mécanique II : Corrigé 5

## Exercice 1 :

1. On a

$$\begin{cases} \ddot{\mathbf{r}}_1 = -\frac{1}{m_1} \nabla_{\mathbf{r}_1}(U(\mathbf{r}_2 - \mathbf{r}_1)) = +\frac{1}{m_1} (\nabla U)(\mathbf{r}_2 - \mathbf{r}_1) \\ \ddot{\mathbf{r}}_2 = -\frac{1}{m_2} \nabla_{\mathbf{r}_2}(U(\mathbf{r}_2 - \mathbf{r}_1)) = -\frac{1}{m_2} (\nabla U)(\mathbf{r}_2 - \mathbf{r}_1) \end{cases}$$

On obtient donc

$$m_* \ddot{\mathbf{R}} = (m_1 + m_2) \left( \frac{m_1 \ddot{\mathbf{r}}_1}{m_1 + m_2} + \frac{m_2 \ddot{\mathbf{r}}_2}{m_1 + m_2} \right) = m_1 \ddot{\mathbf{r}}_1 + m_2 \ddot{\mathbf{r}}_2 = \mathbf{0} .$$

D'autre part, on a

$$\ddot{\mathbf{r}} = \ddot{\mathbf{r}}_2 - \ddot{\mathbf{r}}_1 = - \left( \frac{1}{m_1} + \frac{1}{m_2} \right) (\nabla U)(\mathbf{r}_2 - \mathbf{r}_1) = -\frac{m_1 + m_2}{m_1 m_2} (\nabla U)(\mathbf{r}_2 - \mathbf{r}_1) = -\frac{1}{\mu} (\nabla U)(\mathbf{r}_2 - \mathbf{r}_1)$$

ce qui donne effectivement  $\mu \ddot{\mathbf{r}} = -\nabla U(\mathbf{r})$ .

2. L'équation pour  $\mathbf{r}$  est celle d'un point matériel de masse  $\mu$  dans un potentiel  $U(\mathbf{r})$ . L'équation pour  $\mathbf{R}$  est celle d'un point matériel ne subissant aucune force, donc d'un mouvement rectiligne uniforme. On peut donc décomposer le problème à deux corps comme un mouvement uniforme du centre de masse et le mouvement d'un point matériel "effectif" de masse  $\mu$ .
3. Si maintenant  $m_1$  est très grand (beaucoup plus que  $m_2$ ), on trouve que  $\frac{m_1}{m_1+m_2} \approx 1$  et  $\frac{m_2}{m_1+m_2} \approx 0$ . En conséquence, on a que  $\mathbf{R} \approx \mathbf{r}_1$ , et dans le référentiel où  $\mathbf{R} \equiv \mathbf{0}$ , on a donc  $\mathbf{r}_1 \approx \mathbf{0}$  (l'étoile ne bouge presque pas). D'autre part, on a que  $\mu \approx m_2$ , et que  $\mathbf{r} = \mathbf{r}_2 - \mathbf{r}_1 \approx \mathbf{r}_2 - \mathbf{0} = \mathbf{r}_2$ , et donc  $\mu \ddot{\mathbf{r}} = -\nabla U(\mathbf{r})$  devient essentiellement  $m_2 \ddot{\mathbf{r}}_2 = -\nabla U(\mathbf{r}_2)$  (donc la planète suit l'équation d'un point matériel dans un potentiel  $U(\mathbf{r}_2)$ ). L'erreur relative faite avec cette approximation est de l'ordre de  $m_2/m_1$ .

## Exercice 2 :

Pour décrire les orbites, introduisons comme dans le cours le potentiel effectif

$$V(r) = c r^\alpha + \frac{M^2}{2r^2}$$

où  $M$  est le moment cinétique (constant). La composante  $\frac{M^2}{2r^2}$  agit comme un potentiel répulsif. La composante  $c r^\alpha$  agit comme un potentiel attractif ou répulsif selon les valeurs de  $c$  et  $\alpha$ . Rappel : si le potentiel effectif  $V$  est borné inférieurement, on a nécessairement  $E \geq \inf_r V(r)$ .

1. Lorsque  $M = 0$ , on a  $U(r) \equiv V(r)$ .
  - Cas  $\alpha = 0$  ou  $c = 0$  : nous avons dans les deux cas  $U(r) \equiv c$ , donc l'absence de force. Les trajectoires sont des lignes droites qui passent par l'origine (puisque  $M = 0$ ) ou des points fixes.
  - Cas  $\alpha > 0, c > 0$ . Le potentiel est attractif, on a  $\lim_{r \rightarrow \infty} U(r) = \infty$  et donc les trajectoires restent bornées. Puisque  $U(0) = 0$  et que nécessairement  $E > 0$ , toutes les trajectoires visitent l'origine. Voir courbe bleue sur la Figure 1a.

\*Contact pour cette série : Noé Cuneo (noe.cuneo@unige.ch)

- Cas  $\alpha > 0, c < 0$ . Le potentiel est répulsif, et tend de façon monotone vers  $-\infty$  lorsque  $r \rightarrow \infty$ . Les trajectoires partent donc à l'infini. Si  $E > 0$  elles peuvent “traverser” l'origine, et si  $E < 0$  elles sont réfléchies dans la direction d'où elles viennent. Voir courbe rouge sur la Figure 1a.
- Cas  $\alpha < 0, c > 0$ . Le potentiel est répulsif et tend vers zéro lorsque  $r \rightarrow \infty$  de façon monotone décroissante. L'énergie à l'origine étant infinie, les trajectoires sont réfléchies et repartent à l'infini sans passer par l'origine. Voir courbe bleue sur la Figure 1b.
- Cas  $\alpha < 0, c < 0$ . Le potentiel est attractif. Si  $E < 0$ , la trajectoire entre en collision avec l'origine. Si  $E \geq 0$  elle peut entrer en collision avec l'origine ou partir à l'infini, selon les conditions initiales. Voir courbe rouge sur la Figure 1b.

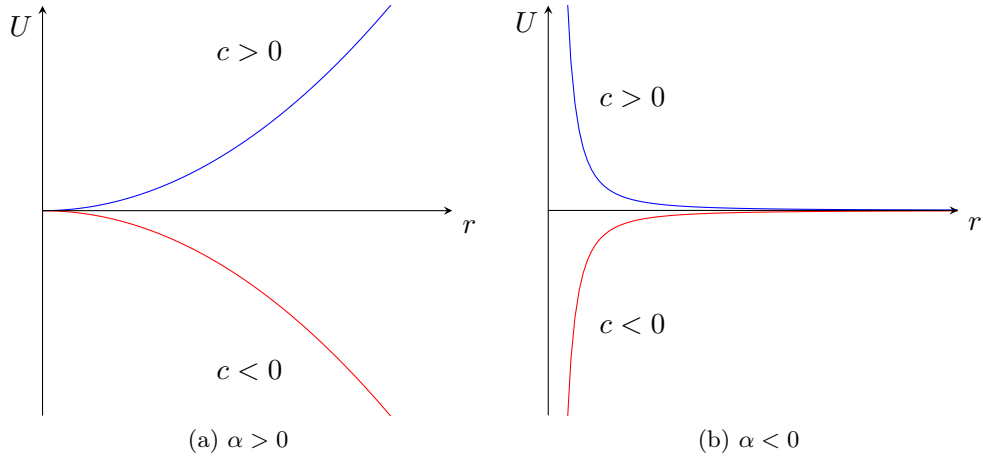


FIGURE 1 – Cas  $M = 0$ .

2. On suppose maintenant que  $M \neq 0$ .

- Cas  $\alpha = 0$  ou  $c = 0$  : nous avons dans les deux cas  $V(r) \equiv c$ , donc l'absence de force. Toutes les trajectoires viennent de l'infini et repartent à l'infini (il s'agit de droites qui ne passent pas par l'origine). Voir Figure 2.

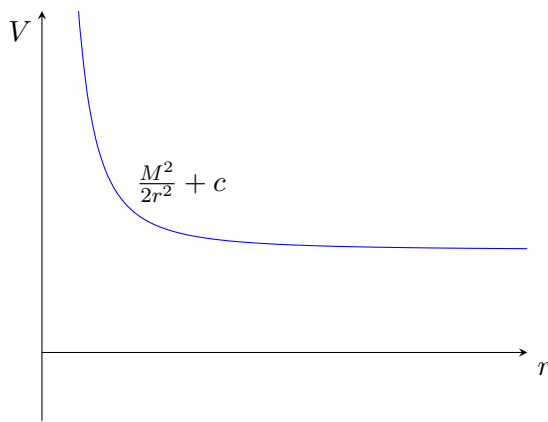


FIGURE 2 – Cas  $M \neq 0$  et  $\alpha = 0$  ou  $c = 0$

- Cas  $\alpha > 0$ .
- Si  $c > 0$ , on a  $\lim_{r \rightarrow \infty} V(r) = \lim_{r \rightarrow 0} V(r) = +\infty$  donc les trajectoires restent bornées et n'approchent pas l'origine. C'est typiquement le cas avec un ressort obéissant à la loi de Hooke (dans ce cas  $\alpha = 2$ ). Voir Figure 3a.
- Si  $c < 0$ ,  $V(r)$  est strictement décroissante avec  $\lim_{r \rightarrow \infty} V(r) = -\infty$  donc les trajectoires

partent à l'infini. Comme au point précédent, les trajectoires ne visitent pas l'origine. Voir Figure 3b.

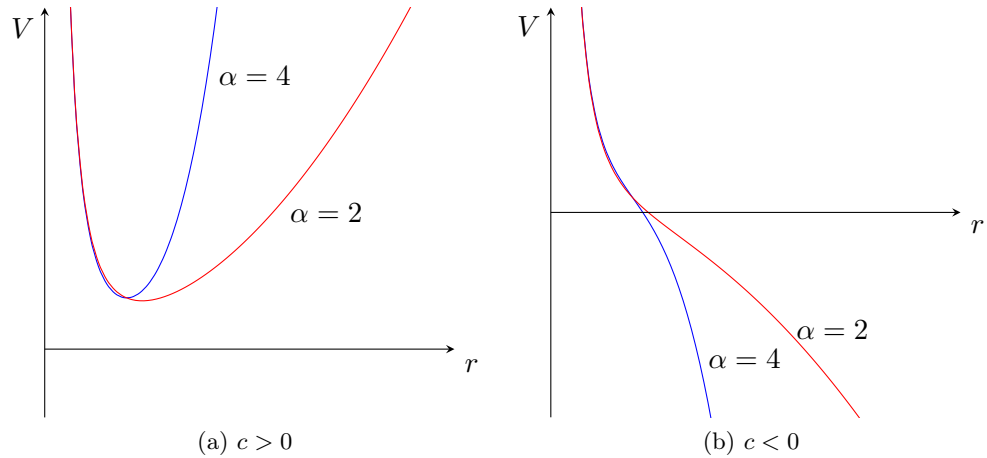


FIGURE 3 – Cas  $M \neq 0$  et  $\alpha > 0$ .

— Cas  $-2 < \alpha < 0$ .

- Si  $c > 0$ , les deux composantes sont répulsives. On a  $\lim_{r \rightarrow 0} V(r) = +\infty$ , donc les trajectoires n'approchent pas l'origine. De plus,  $V(r)$  décroît de façon monotone jusqu'à zéro à l'infini, donc les trajectoires viennent et partent de l'infini. Voir Figure 4a.
- Si  $c < 0$  la composante  $cr^\alpha$  est attractive. Lorsque  $r \rightarrow 0$ , c'est toujours  $\frac{M^2}{2r^2}$  qui "gagne" puisque  $\alpha > -2$ . Ainsi, on a  $\lim_{r \rightarrow 0} V(r) = +\infty$  et aucune trajectoire ne peut approcher l'origine. On a  $\lim_{r \rightarrow \infty} V(r) = 0$ , mais il y a un minimum à énergie négative. Pour calculer ce minimum, on résout l'équation  $\frac{d}{dr} \left( cr^\alpha + \frac{M^2}{2r^2} \right) = 0$  ce qui donne  $r^* = (M^2/2\alpha)^{\frac{1}{2+\alpha}}$ . On peut montrer que  $E^* = V(r^*)$  est toujours négatif. Ainsi, si  $E^* \leq E < 0$  la trajectoire est bornée, et si  $E \geq 0$  la trajectoire n'est pas bornée. Exemple : le potentiel gravitationnel ( $\alpha = -1$ ). Voir Figure 4b.

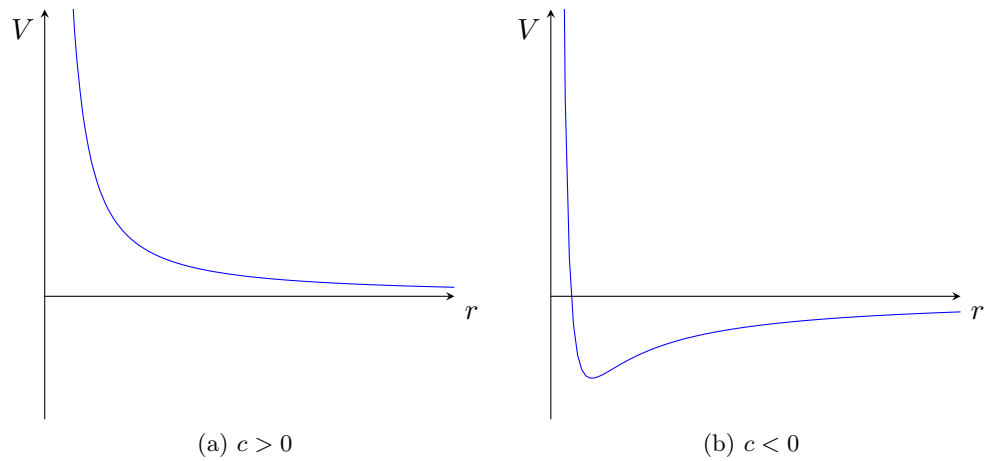


FIGURE 4 – Cas  $M \neq 0$  et  $-2 < \alpha < 0$

- Cas  $\alpha = -2$ . On a  $V(r) = (M^2/2 + c) \frac{1}{r^2}$ . La discussion est la même que dans le cas  $M = 0$  ci-dessus, avec une nouvelle constante  $c' = M^2/2 + c$  et  $\alpha < 0$ . Si  $c' > 0$  les trajectoires ne peuvent approcher l'origine et ne sont pas bornées. Si  $c' < 0$  les trajectoires avec  $E < 0$  collisionnent l'origine, et celle avec  $E \geq 0$  peuvent collisionner l'origine ou partir à l'infini. Ainsi, puisque  $c'$  dépend de  $M$ , la nature de la trajectoire peut dépendre de la valeur de  $M$ .

- Cas  $\alpha < -2$ .
- Si  $c > 0$ , les deux composantes sont à nouveau attractives, et les trajectoires sont comme dans le cas  $\alpha < 0, c > 0$ . Voir Figure 5a.
- Si  $c < 0$ , la composante  $cr^\alpha$  est attractive et “gagne” lorsque  $r \rightarrow 0$ . On a  $\lim_{r \rightarrow 0} V(r) = -\infty$  et  $\lim_{r \rightarrow \infty} V(r) = 0$ . Il y a un maximum d'énergie  $E^*$  que l'on obtient comme précédemment. Si  $E < 0$  les trajectoires ne peuvent s'échapper et sont attirées par l'origine. Si  $0 \leq E \leq E^*$  les trajectoires ne peuvent pas traverser la barrière de potentiel, et sont donc soit attirées par l'origine, soit s'échappent vers l'infini. Si  $E > E^*$  les trajectoires peuvent venir de l'infini et aller vers l'origine, ou inversement. Voir Figure 5b.

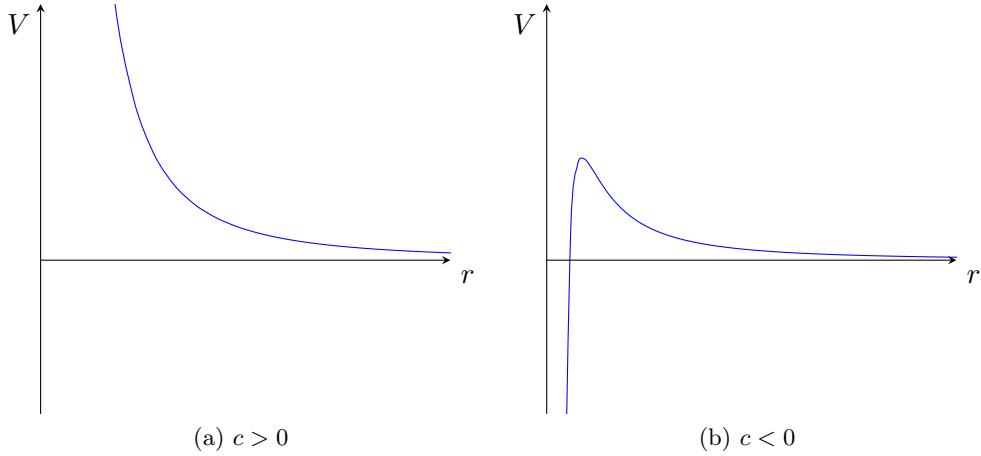


FIGURE 5 – Cas  $M \neq 0$  et  $\alpha < -2$ .

**Préparatif :** Pour que la quantité  $\alpha + \beta x - x^2$  soit non-négative pour tout  $x \in [x_1, x_2]$ , il faut que le discriminant  $\Delta = \beta^2 + 4\alpha$  soit positif et que  $[x_1, x_2] \subset \left[\frac{\beta - \sqrt{\Delta}}{2}, \frac{\beta + \sqrt{\Delta}}{2}\right]$ . En complétant le carré, en posant  $y = (x - \beta/2)x$  puis  $z = 2y/\sqrt{\Delta}$ , on trouve

$$I = \int_{x_1}^{x_2} \frac{dx}{\sqrt{\alpha + \beta^2/4 - (x - \beta/2)^2}} = \int_{x_1 - \beta/2}^{x_2 - \beta/2} \frac{dy}{\sqrt{\Delta/4 - y^2}} = \frac{2}{\sqrt{\Delta}} \frac{\sqrt{\Delta}}{2} \int_{z_1}^{z_2} \frac{dz}{\sqrt{1 - z^2}} = \int_{z_1}^{z_2} \frac{dz}{\sqrt{1 - z^2}}$$

avec  $z_i = 2(x_i - \beta/2)/\sqrt{\Delta}$ . On pose finalement  $t = \arcsin(z)$  et  $t_i = \arcsin(z_i)$ . On a  $[z_1, z_2] \subset [-1, 1]$  et par définition de l'arc sinus,  $[t_1, t_2] \subset [-\pi/2, \pi/2]$ . Sur cet intervalle,  $\cos(t)$  est positif. Dès lors, avec  $z = \sin(t)$  et  $dz = \cos(t)dt$  on trouve

$$I = \int_{t_1}^{t_2} \frac{\cos(t)dt}{\sqrt{1 - \sin^2(t)}} = \int_{t_1}^{t_2} \frac{\cos(t)dt}{|\cos(t)|} = \int_{t_1}^{t_2} dt = t_2 - t_1 \quad \text{avec} \quad t_i = \arcsin\left(\frac{2x_i - \beta}{\sqrt{\beta^2 + 4\alpha}}\right). \quad (1)$$

**Remarque :** Observons que si  $x_1 = \frac{\beta - \sqrt{\Delta}}{2}$  (c'est à dire que  $x_1$  est le point “limite” où la racine s'annule), alors  $t_1 = -\frac{\pi}{2}$  et si  $x_2 = \frac{\beta + \sqrt{\Delta}}{2}$  (donc si  $x_2$  est l'autre point limite), alors  $t_2 = \frac{\pi}{2}$ . Si  $x_1$  et  $x_2$  sont les deux points limites, nous avons  $I = \pi$ .

**Exercice 3 :** Orbites fermées. Nous avons  $U(r) = -\frac{k}{r}$  et  $V(r) = -\frac{k}{r} + \frac{M^2}{2r^2}$ . Pour obtenir des orbites bornées, il faut nécessairement  $E < 0$  puisque nous avons  $\lim_{r \rightarrow \infty} U(r) = 0$ . Calculons maintenant l'énergie minimale, qui correspond au minimum de  $V$ . De manière équivalente, minimisons  $V\left(\frac{1}{u}\right) =$

$-ku + \frac{M^2}{2}u^2$ . Le minimum est atteint en  $u^* = \frac{k}{M^2}$  avec  $E_{min} = V\left(\frac{1}{u^*}\right) = -\frac{k^2}{2M^2}$ . Nous supposerons donc par la suite que  $E \in \left(-\frac{k^2}{2M^2}, 0\right)$ .

Par la formule du cours, on doit donc calculer

$$\Phi = \int_{r_1}^{r_2} \frac{Mdr}{r^2 \sqrt{2(E - V(r))}} = \int_{r_1}^{r_2} \frac{Mdr}{r^2 \sqrt{2(E + \frac{k}{r} - \frac{M^2}{2r^2})}} = \int_{r_1}^{r_2} \frac{dr}{r^2 \sqrt{\frac{2E}{M^2} + \frac{2k}{rM^2} - \frac{1}{r^2}}}$$

avec  $r_1, r_2$  les deux valeurs de  $r$  où la racine s'annule. Le changement de variable  $x = -1/r$ ,  $dx = \frac{1}{r^2}dr$  mène à

$$\Phi = \int_{x_1}^{x_2} \frac{dx}{\sqrt{\frac{2E}{M^2} - \frac{2k}{M^2}x - x^2}}.$$

avec  $x_i = -\frac{1}{r_i}$ . C'est l'intégrale du préparatif avec  $\alpha = \frac{2E}{M^2}$  et  $\beta = -\frac{2k}{M^2}$ . Sur l'intervalle  $(x_1, x_2)$ , l'argument de la racine est positif (c'est le cas par construction et parce qu'on a  $E > E_{min}$ ). Il s'agit donc maintenant en principe de calculer  $r_1, r_2$ , puis  $x_1, x_2$  et de remplacer dans (1). On peut le faire explicitement, mais la remarque suivant le préparatif permet d'éviter ce calcul. En effet,  $x_1$  et  $x_2$  sont par construction les points où la racine s'annule, et donc par la remarque on a simplement  $\Phi = \pi$ . On trouve donc qu'il y a un angle de  $\pi$  entre l'épicentre et l'apocentre, et donc un cycle épicentre-apocentre-épicentre représente un tour complet ( $2\pi$ ), ce qui correspond bien à une orbite périodique.

#### Exercice 4 : Petites oscillations autour de l'orbite circulaire.

1. Si l'orbite oscille autour d'un cercle, c'est que dans le problème unidimensionnel,  $r$  oscille autour d'un minimum du potentiel effectif  $V(r) = U(r) + \frac{M^2}{2r^2}$ . L'orbite circulaire correspond au point d'équilibre du problème unidimensionnel, c'est à dire à  $r \equiv r_0$  avec  $r_0$  le point où  $V$  est minimal.
2. On a  $V'(r_0) = 0$  (puisque  $V$  atteint un minimum en  $r_0$ ) et  $V''(r_0) = U''(r_0) + 3\frac{M^2}{r_0^4}$ . Pour  $r \approx r_0$ , on a donc au deuxième ordre

$$V(r) \approx V(r_0) + \frac{1}{2}V''(r_0)(r - r_0)^2 = V(r_0) + \frac{1}{2}\left(U''(r_0) + 3\frac{M^2}{r_0^4}\right)(r - r_0)^2.$$

3. Soit maintenant  $E = V(r_0) + \varepsilon$ . Pour simplifier, notons  $\kappa = V''(r_0)$ . Dans notre approximation, nous devons calculer

$$\begin{aligned} \Phi &= \int_{r_1}^{r_2} \frac{M}{r^2} \frac{dr}{\sqrt{2(E - V(r))}} = \int_{r_1}^{r_2} \frac{M}{r^2} \frac{dr}{\sqrt{2(V(r_0) + \varepsilon - V(r_0) - \frac{\kappa}{2}(r - r_0)^2)}} \\ &= \int_{r_1}^{r_2} \frac{M}{r^2} \frac{dr}{\sqrt{2\varepsilon - \kappa(r - r_0)^2}} = \frac{M}{\sqrt{\kappa}} \int_{r_1}^{r_2} \frac{1}{r^2} \frac{dr}{\sqrt{\frac{2\varepsilon}{\kappa} - (r - r_0)^2}} \end{aligned}$$

avec  $r_1, r_2$  les deux points où la racine s'annule. On fait le changement de variable  $r = r_0 + x$  et on trouve

$$\Phi = \frac{M}{\sqrt{\kappa}} \int_{x_1}^{x_2} \frac{1}{(r_0 + x)^2} \frac{dx}{\sqrt{\frac{2\varepsilon}{\kappa} - x^2}}$$

avec  $x_1, x_2$  les deux points où la racine s'annule. On a donc entre  $x_1$  et  $x_2$  que  $x^2 \leq \frac{2\varepsilon}{\kappa}$ , d'où  $x = O(\sqrt{\varepsilon})$ , et donc  $\frac{1}{(r_0 + x)^2} = \frac{1}{(r_0 + O(\sqrt{\varepsilon}))^2} = \frac{1}{r_0^2 + O(\sqrt{\varepsilon})} = \frac{1}{r_0^2} + O(\sqrt{\varepsilon})$ . Ainsi

$$\Phi = \left(\frac{M}{r_0^2 \sqrt{\kappa}} + O(\sqrt{\varepsilon})\right) \int_{x_1}^{x_2} \frac{dx}{\sqrt{\frac{2\varepsilon}{\kappa} - x^2}}.$$

Par la remarque du préparatif, puisqu'à nouveau  $x_1$  et  $x_2$  sont les points limites, l'intégrale ci-dessus vaut  $\pi$ , et donc en négligeant le  $O(\sqrt{\varepsilon})$  (en plus de l'approximation faite au départ sur  $V$  autour de  $r_0$ ) on trouve

$$\Phi \approx \frac{M}{r_0^2 \sqrt{\kappa}} \pi = \frac{\pi M}{r_0^2 \sqrt{V''(r_0)}} = \frac{\pi}{\sqrt{\frac{r_0^4 U''(r_0)}{M^2} + 3}} .$$

**Remarque :** Pour arriver à la forme du Problème 2.8.D.2 du livre d'Arnold, il suffit d'observer que par minimalité de  $V$  en  $r_0$ , on a  $V'(r_0) = U'(r_0) - \frac{M^2}{r_0^3} = 0$ , d'où  $r_0^3 = \frac{M^2}{U'(r_0)}$ . Dès lors, on a  $\sqrt{\frac{r_0^4 U''(r_0)}{M^2} + 3} = \sqrt{\frac{r_0 r_0^3 U''(r_0)}{M^2} + 3} = \sqrt{\frac{r_0 U''(r_0)}{U'(r_0)} + 3} = \sqrt{\frac{r_0 U''(r_0) + 3 U'(r_0)}{U'(r_0)}}$  et donc  $\Phi = \pi \sqrt{\frac{U'(r_0)}{r_0 U''(r_0) + 3 U'(r_0)}}$ .

**Exercice 5 :** Déviation angulaire.

1. Nous avons que  $\mathbf{M} = \mathbf{r} \times \dot{\mathbf{r}} = \pm \|\mathbf{r}_{perp}\| \cdot \|\dot{\mathbf{r}}\|$ , où  $\mathbf{r}_{perp}$  est la composante de  $\mathbf{r}$  perpendiculaire à  $\dot{\mathbf{r}}$ . Pour l'orientation représentée sur la figure de l'énoncé, le signe  $+$  est à choisir. Lorsque  $t \rightarrow -\infty$  nous avons  $\|\mathbf{r}_{perp}\| \rightarrow b$  et  $\|\dot{\mathbf{r}}\| \rightarrow \|\mathbf{v}_0\|$ , d'où

$$M = \|\mathbf{v}_0\| b .$$

2. Le potentiel effectif est

$$V(r) = -\frac{k}{r} + \frac{M^2}{2r^2}$$

et l'énergie  $E = \frac{1}{2}\dot{r}^2 - \frac{k}{r} + \frac{M^2}{2r^2}$  est constante. En l'évaluant pour  $t \rightarrow -\infty$ , nous avons simplement  $E = \frac{1}{2}\|\mathbf{v}_0\|^2$ . On trouve  $r_-$  par la condition  $V(r_-) = E$ . En résolvant une équation du second degré et en choisissant la solution positive, on trouve

$$r_- = \frac{-k + \sqrt{k^2 + 2EM^2}}{E} > 0 .$$

3. On calcule l'intégrale

$$\Phi = \int_{r_-}^{\infty} \frac{M dr}{r^2 \sqrt{2(E - V(r))}} .$$

Une fois encore le changement de variable  $x = -1/r$ ,  $dx = \frac{1}{r^2} dr$  mène à

$$\Phi = \int_{x_1}^0 \frac{dx}{\sqrt{\frac{2E}{M^2} - \frac{2k}{M^2}x - x^2}}$$

avec  $x_1 = -\frac{1}{r_-}$  qui à nouveau est tel que la racine s'annule. Il s'agit encore de l'intégrale du préparatif avec  $\alpha = \frac{2E}{M^2}$  et  $\beta = -\frac{2k}{M^2}$ . On vérifie aisément que les conditions de positivité de l'argument de la racine sont vérifiées (c'est une conséquence du fait que  $E > 0$ ). La remarque du préparatif s'applique pour  $x_1$  mais pas pour la borne  $x_2 = 0$ . On a donc dans la notation du préparatif que  $t_1 = -\pi/2$  et

$$\Phi = t_2 - t_1 = t_2 + \frac{\pi}{2} = \arcsin \left( \frac{2x_2 - \beta}{\sqrt{\beta^2 + 4\alpha}} \right) + \frac{\pi}{2} = \arcsin \left( \frac{1}{\sqrt{1 + 2\frac{EM^2}{k^2}}} \right) + \frac{\pi}{2}$$

4. On voit sur la figure que  $\alpha = 2(\Phi - \pi/2)$ , d'où

$$\alpha = 2 \arcsin \left( \frac{1}{\sqrt{1 + 2 \frac{EM^2}{k^2}}} \right) = 2 \arcsin \left( \frac{1}{\sqrt{1 + \frac{\|\mathbf{v}_0\|^4 b^2}{k^2}}} \right).$$

L'argument de l'arcsinus est toujours entre 0 et 1, et donc on a  $\alpha \in (2 \arcsin(0), 2 \arcsin(1)) = (0, \pi)$  (avec les signes selon les conventions de la figure). Ainsi, le point matériel ne peut pas faire plus qu'un demi-tour. Ce n'est pas une surprise : avec  $E > 0$ , les trajectoires sont des branches d'hyperboles, et donc ne peuvent pas passer deux fois par le même point.

5. La quantité déterminante est  $\delta = 2 \frac{EM^2}{k^2} = \frac{\|\mathbf{v}_0\|^4 b^2}{k^2}$ .

- Lorsque  $\delta \rightarrow \infty$ , l'argument de l'arcsinus tend vers 0 et donc  $\alpha \rightarrow 0$ . C'est le cas par exemple si  $k \rightarrow 0$  (potentiel très faible), si  $\|\mathbf{v}_0\| \rightarrow \infty$  (le point matériel passe si rapidement qu'il est très peu dévié) ou si  $b \rightarrow \infty$  (il passe si loin qu'il est peu dévié).
- Lorsque  $\delta \rightarrow 0$ , l'argument de l'arcsinus tend vers 1 et donc  $\alpha \rightarrow \pi$ . C'est le cas si  $k \rightarrow \infty$  (potentiel très fort), si  $\|\mathbf{v}_0\| \rightarrow 0$  (le point matériel passe très lentement) ou si  $b \rightarrow 0$  (il passe très près).

**Remarque :** En utilisant la formule  $\arcsin(x) = \arctan\left(\frac{x}{\sqrt{1-x^2}}\right) = \operatorname{arccot}\left(\frac{\sqrt{1-x^2}}{x}\right)$  on trouve alternativement l'expression

$$\alpha = 2 \operatorname{arccot} \left( \frac{\|\mathbf{v}_0\|^2 b}{k} \right).$$

Rutherford a trouvé la même expression (à condition d'interpréter correctement le signe de  $b$ ) dans le cas d'un potentiel électrostatique répulsif (donc de type  $\frac{c}{r}$  avec  $c > 0$ ). C'est une formule très importante historiquement. En mesurant la déviation angulaire de particules alpha envoyées sur une fine feuille d'or, il a pu établir que la matière est essentiellement composée de vide.